

## ИНДУЦИРОВАННЫЕ ТОКИ КОРОТКОГО ЗАМЫКАНИЯ В РН-ПЕРЕХОДАХ НА ОСНОВЕ $PbS_{1-x}Se_x$

И.И. Засавицкий, К.В. Киселева, В.М. Сенков, А.П. Шотов

УДК 621.382

Изучено пространственное распределение токов короткого замыкания  $I_{sc}$  в диодах, изготовленных на основе  $PbS_{1-x}Se_x$ . Определены длины диффузии неравновесных носителей ( $2\div 5 \text{ мкм}$ ). Обнаружены простирающиеся на несколько десятков микрометров "хвосты"  $I_{sc}'$ , которые могут быть связаны с фотонным переносом носителей заряда.

В работе микрозондовым методом измерено пространственное распределение токов короткого замыкания  $I_{sc}$  на поперечных сколах рн-переходов на основе  $PbS_{1-x}Se_x$  при температурах 300 и 120 К. Измерения проводились на микроанализаторе МАР-2 при ускоряющих напряжениях 15 и 25 кВ и токе зонда 5-50 нА. Диаметр электронного зонда составлял около 3 мкм.

Диоды создавались путем диффузии халькогена или металла соответственно в подложки п- и р-типа проводимости. В табл. 1 указаны состав, тип проводимости, концентрация и подвижность свободных носителей заряда при 77 К в кристаллах, из которых изготавливались диоды.

Глубины залегания рн-переходов  $\delta_0$  определены по максимумам кривых  $I_{sc}$  (рис. 1, 2) и согласуются с данными измерений термоэдс. Установлено, что при повышении температуры от азотной до комнатной в некоторых образцах (№ 1 и № 4) происходит смещение рн-перехода вглубь подложки на 10-20 мкм. Такое смещение, по-видимому, вызвано изменением с температурой концентрации свободных носителей вблизи рн-перехода. При удалении зонда от рн-перехода наблюдались экспоненциальные спады сигнала  $I_{sc}$  (рис. 2). По этим спадам определялись длины диффузии неравновесных носителей заряда  $L$  (табл. 1).

В большинстве образцов п-типа было обнаружено, что кривые пространственного распределения  $I_{sc}$  при 120 К имеют "хвосты", простирающиеся в подложку на несколько десятков микрометров. На рис. 2 показан пример такой зависимости для образца № 4 (кривая 1), которая имеет излом при расстоянии зонда от края кристалла  $l = 38 \text{ мкм}$ . Такие "хвосты" исчезают при повышении температуры до 300 К. Эти данные позволяют предположить

Таблица 1

Параметры кристаллов и изготовленных из них диодов

№ образца	x	Тип проводимости	Концентрация носителей при 77 K, $10^{18} \text{ см}^{-3}$	$\mu$ при 77 K, $10^3 \text{ см}^2/\text{В}\cdot\text{s}$	$\delta_0, \text{ мкм}$		$L, \text{ мкм}$	$L_p, \text{ мкм}$
					120 K	300 K		
1	0,40	p	7,4	6,3	18	35	4	10
2	0,33	n	8,0	1,5	30÷40	30÷40	2	—
3	0,33	n	8,0	1,5	35	35	5	—
4	0,33	n	8,0	1,5	35	45	5	2
5	0,33	n	5,6	4	25	—	3	17-19
							—	20

наличие фотонного переноса неравновесных носителей заряда в  $\text{PbS}_{1-x}\text{Se}_x$ . Его можно охарактеризовать величиной  $L_p$ , определенной по экспоненциальному спаду в области "хвоста".

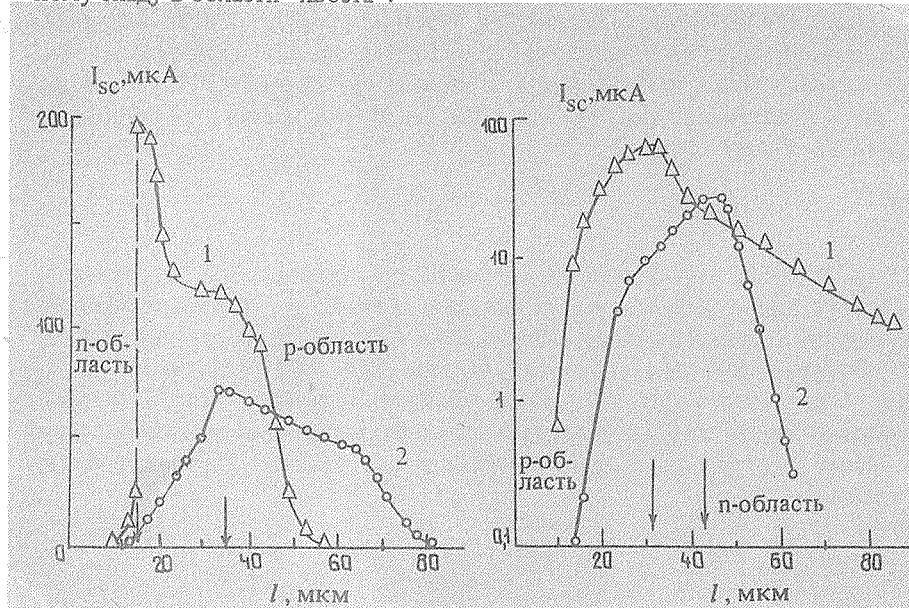


Рис. 1. Пространственное распределение  $I_{sc}$  для образца № 1 при 120 (1) и 300 К (2). Стрелками указано положение рн-перехода;  $V = 25$  кВ,  $i_a = 20$  нА.

Рис. 2. Пространственное распределение  $I_{sc}$  для образца № 4: 1 –  $T = 120$  К,  $V = 15$  кВ,  $i_a = 30$  нА; 2 –  $T = 300$  К,  $V = 25$  кВ,  $i_a = 20$  нА.

В рамках высказанного предположения наличие фотонного переноса в сильно вырожденном материале может быть связано с относительно малым коэффициентом поглощения  $a$  фотонов, имеющих энергию, близкую к ширине запрещенной зоны  $E_g$  (эффект Бурштейна). Кванты, генерированные в месте попадания электронного зонда на образец и имеющие энергию  $h\nu \approx E_g$ , доходят до рн-перехода, не испытывая междузонного поглощения. Вблизи рн-перехода, где вырождение мало (или снято), фотоны поглощаются с образованием электронно-дырочных пар, которые затем разделяются электрическим полем рн-перехода.

В рамках такой модели из экспериментальных данных можно оценить коэффициент поглощения  $a$  и внутренний квантовый выход люминесценции  $\eta$  материала.

При оценке величины  $a$  следует учитывать, что материал подложки сильно вырожден (степень вырождения при 120 К около 15). Поэтому фотоны, генерированные в месте попадания на образец электронного пучка, при движении к рп-переходу испытывают поглощение в основном на свободных носителях. В этом случае

$$I_{sc} = \beta e N_0 \exp(-ad), \quad (1)$$

где  $N_0$  — число излучательно прорекомбинировавших в единицу времени электронно-дырочных пар, генерированных зондом;  $d$  — расстояние между электронным пучком и рп-переходом;  $\beta$  — постоянный множитель. Оценка  $a$  с помощью соотношения (1) дает значение  $500 \div 600 \text{ см}^{-1}$ . Оценку внутреннего квантового выхода  $\eta$  можно провести, вычислив число  $G_0$  генерированных зондом в единицу времени электронно-дырочных пар и определив из экспериментальных данных при помощи соотношения (1) величину  $N_0$ . Согласно /1/

$$G_0 = \Theta i_a V / \epsilon,$$

где  $i_a$  — ток электронов зонда, поглощенных образцом;  $V$  — ускоряющее напряжение микронализатора;  $\epsilon$  — энергия рождения электронно-дырочных пар, которая обычно принимается равной  $3E_g$ ; коэффициент  $\Theta$  обычно близок к единице.

Для оценки считалось, что в сторону рп-перехода направлена 1/6 часть генерированных зондом фотонов. Тогда  $\beta = 1/6$ . Полученная таким образом величина внутреннего квантового выхода  $\eta = N_0/G_0$  при 120 К оказалась равной 0,3 – 0,4.

Помимо "хвостов"  $I_{sc}$ , связанных с фотонным переносом, наблюдалось также сильное уширение кривых  $I_{sc}$  (рис. 1) при больших токах электронного зонда или при многократном прохождении пучка по поперечному сколу диода. Особенно заметен этот эффект на образцах с подложками р-типа проводимости. Такое явление наблюдалось в работе /2/ при исследовании диодов из  $\text{PbS}_{1-x}\text{Se}_x$ , изготовленных из материала р-типа проводимости, и объяснялось инверсией типа проводимости поверхности образца под воздействием электронного зонда.

Таким образом, проведенные измерения пространственного распределения

ния токов короткого замыкания показали, что p-n-переходы в диодах, изготовленных на основе  $PbS_{1-x}Se_x$ , могут смещаться на 10-20 мкм при понижении температуры от 300 до 120 К. Величины длин диффузии неравновесных носителей заряда в исследованном материале оказались равными  $2 \div 5$  мкм. Полученные данные позволяют сделать предположение о наличии фотонного переноса в сильно вырожденном  $PbS_{1-x}Se_x$  при 120 К. Оцененные из этой модели коэффициент поглощения фотонов с энергией  $h\nu \approx E_g$  и внутренний квантовый выход люминесценции имеют значения соответственно  $500 \div 600 \text{ см}^{-1}$  и  $0,3 - 0,4$ .

Поступила в редакцию 2 ноября 1984 г.

#### ЛИТЕРАТУРА

1. Селезнева М. А., Дицман С. А. Краткие сообщения по физике ФИАН, № 11, 33 (1974).
2. Greier H. M. et al. Proc. of SPIE "Tunable Diode Laser Development and Spectroscopy Applications", 438, 10 (1983).